

目 次

稀土催化

多级孔 $\text{La}_{0.9}\text{Ce}_{0.1}\text{Fe}_{1-x}\text{Co}_x\text{O}_3$ 的制备、表征及对 $\text{CO}+\text{NO}$ 的催化活性 王梦雪, 王 丽*, 王 颖, 姜秋伶, 丁浩翔 451

磁学与磁性材料

钕铁硼磁钢居里温度的测定 高伟波*, 王顺杰, 孙梦翔*, 张俊良 460

稀土新材料

强化沉淀反应结晶过程制备纳米稀土氧化物的工艺开发 田 皓, 崔建国*, 王 荣, 高 婷, 陈禹夫, 张 洋 467

微反应器中 $\text{Ce}_2\text{O}(\text{CO}_3)_2 \cdot \text{H}_2\text{O}$ 前驱体的合成及 CeO_2 的制备研究 罗尧尧, 王 天, 刘秉国, 张利波, 张利华* 474

不同气氛加热过程中 CeO_2 晶体结构的原位研究 毛锡嵩, 夏雪雯, 兰苑培*, 姜浪钊, 蒋小勇, 田翔宇 483

稀土化学与湿法冶金

[Omim][BF_4] 基离子液体微乳液萃取金属镧离子的研究 姜 鹏, 李 勇*, 何金桂 490

抗坏血酸钠搅洗降低混合稀土氧化物中 SO_4^{2-} 含量的研究 贺 强, 赖安邦, 邱 江, 王瑞祥, 肖燕飞* 497

混合型稀土精矿循环化选工艺研究 王 哲, 崔建国*, 侯睿恩, 乔 军, 高 婷, 田 皓 507

稀土金属学与火法冶金

钆对 B_2 型 NiAl 力学性质合金化效应的第一性原理计算 陈 律*, 李 敏, 刘逸众 514

稀土应用

应力释放槽对等离子喷涂 $\text{Mo}/8\text{YSZ}$ 热障涂层残余应力的影响规律研究 张啸寒, 庞 铭*, 江国业 521

稀土螯合物抑制土传病原菌的效果及其形态毒理机制
..... 王晨霞, 李 艳, 常瑞雪, 陈 清, 胡 林, 崔建宇*, 慕康国* 532

镧不同施用方式对吸收差异型小白菜镉、铬吸收及生物量的影响 任艳军, 马建军*, 任学军, 杜 彬, 马为民 539

离子型稀土矿废水检测与分析 詹鸿峰, 王华生*, 潘 禹, 孙缓缓, 刘祖文 550

稀土地矿

H205 对氟碳铈矿和含钙脉石的浮选机制研究 曹 轩, 林一明, 王维清*, 邹志威, 陈正义 557

南方离子型稀土矿区马尾松稀土元素的分布与富集 张巧玲, 陈志强*, 陈志彪, 冯柳俊 564

豫西太平镇稀土矿床稀土元素赋存状态研究 陈化凯*, 张盼盼, 李靖辉, 温国栋, 范 光 573

* 通讯联系人

欢迎浏览: <http://www.re-journal.com> 网站

Journal of the Chinese Society of Rare Earths

Volume 38 Number 4 August 2020

Contents

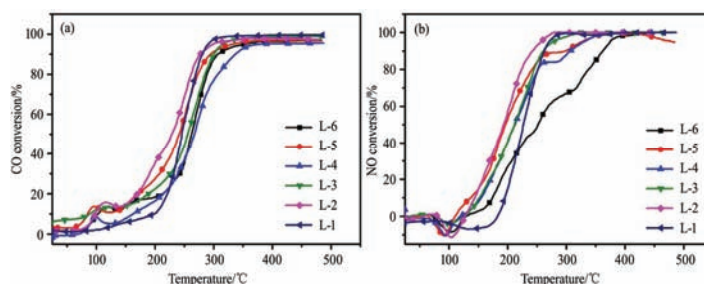
Preparation, Characterization and Catalytic Activity for CO+NO of Hierarchical Porous $\text{La}_{0.9}\text{Ce}_{0.1}\text{Fe}_{1-x}\text{Co}_x\text{O}_3$	451
..... Wang Mengxue et al.	
Determination on Curie Temperature of Neodymium Iron Boron Magnets	460
..... Gao Weibo et al.	
Technology Development of Preparation of Nanometer Rare Earth Oxides by Chemical Enhanced Process in Precipitation Crystallization	467
..... Tian Hao et al.	
Synthesis of Cerium Oxide Carbonate Hydrate Precursor in Microreactor and Preparation of Ceria	474
..... Luo Yaoyao et al.	
<i>In situ</i> Study of CeO_2 Crystal Structure during Heating in Different Atmospheres	483
..... Mao Xisong et al.	
[Omim][BF_4]-based Ionic Liquid Microemulsion Extraction of Metal Lanthanum Ions	490
..... Jiang Peng et al.	
Study on Decreasing Sulfate Radical Content in Mixed Rare Earth Oxides by Stirring Washing with Sodium Ascorbate	497
..... He Qiang et al.	
Cyclic Chemical Selection Technology of Hybrid Rare Earth Concentrate	507
..... Wang Zhe et al.	
Mechanical Properties of B_2 -NiAl Intermetallic Compound with Gadolinium Addition by First-Principles Calculation	514
..... Chen Lü et al.	
Rule of Influence of Stress Relief Groove for Residual Stress of Plasma Sprayed Mo/8YSZ Thermal Barrier Coating	521
..... Zhang Xiaohan et al.	
Effect of Rare Earth Chelate on Inhibiting Soil-Borne Pathogens and Its Morphological and Toxicological Mechanism	532
..... Wang Chenxia et al.	
Effects of Lanthanum Different Application Methods on Cadmium and Chromium Absorption and Biomass of Absorption Difference Chinese Cabbage Varieties	539
..... Ren Yanjun et al.	
Measurement and Analysis of Ion-type Rare Earth Mine Wastewater	550
..... Zhan Hongfeng et al.	
Flotation Mechanism of H2O5 on Bastnaesite and Calcareous Gangues	557
..... Cao Xuan et al.	
Distribution and Enrichment of Rare Earth Elements of <i>Pinus massoniana</i> in Ionic Type Rare Earth Mining Area, Southern China	564
..... Zhang Qiaoling et al.	
REE Occurrence of Taipingzhen REE Deposit in Western Henan Province	573
..... Chen Huakai et al.	

目录

稀土催化

451 多级孔 $\text{La}_{0.9}\text{Ce}_{0.1}\text{Fe}_{1-x}\text{Co}_x\text{O}_3$ 的制备、表征及对 CO+NO 的催化活性

王梦雪, 王丽*, 王颖, 姜秋伶, 丁浩翔



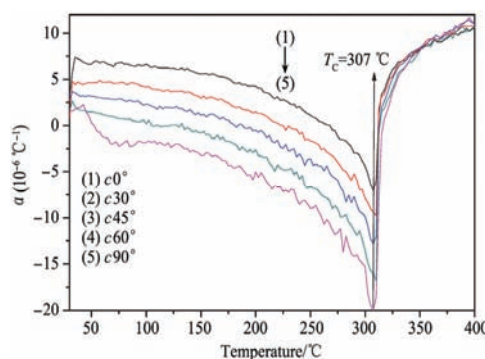
CO (a) and NO (b) conversion over $\text{La}_{0.9}\text{Ce}_{0.1}\text{Fe}_{1-x}\text{Co}_x\text{O}_3$ catalysts

中国稀土学报, 2020, 38(4): 451-459

磁学与磁性材料

460 钕铁硼磁钢居里温度的测定

高伟波*, 王顺杰, 孙梦翔*, 张俊良



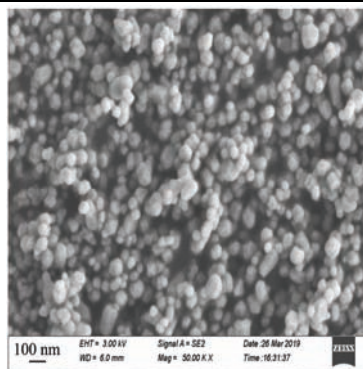
Thermal expansion coefficient α with increasing temperature for Nd-Fe-B samples along different directions

中国稀土学报, 2020, 38(4): 460-466

稀土新材料

467 强化沉淀反应结晶过程制备纳米稀土氧化物的工艺开发

田皓, 崔建国*, 王荣, 高婷, 陈禹夫, 张洋

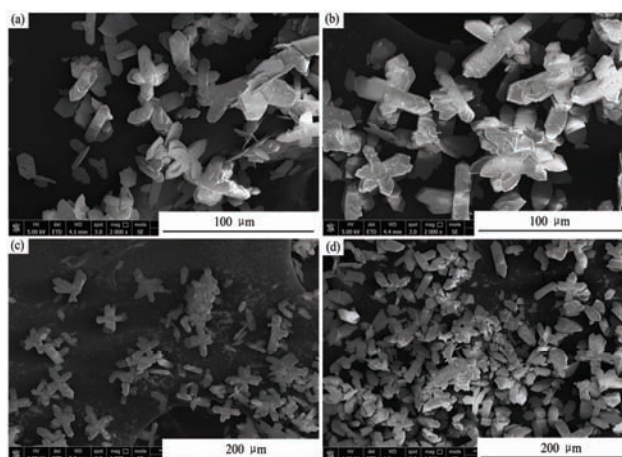


SEM patterns of nanometer CeO_2

中国稀土学报, 2020, 38(4): 467-473

474 微反应器中 $\text{Ce}_2\text{O}(\text{CO}_3)_2 \cdot \text{H}_2\text{O}$ 前驱体的合成及 CeO_2 的制备研究

罗尧尧, 王天, 刘秉国, 张利波, 张利华*



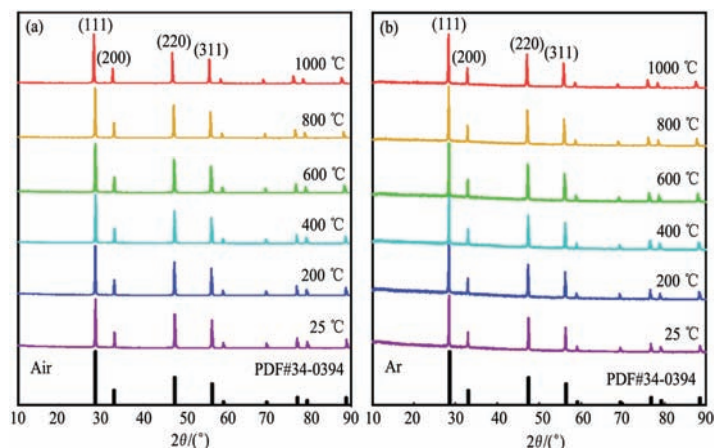
FESEM analysis of products obtained at different temperatures in microreactor

(a) Room temperature; (b) 50 °C; (c) 70 °C; (d) 90 °C

中国稀土学报, 2020, 38(4): 474-482

483 不同气氛加热过程中 CeO₂ 晶体结构的原位研究

毛锡嵩, 夏雪雯, 兰苑培*, 姜浪钊, 蒋小勇, 田翔宇



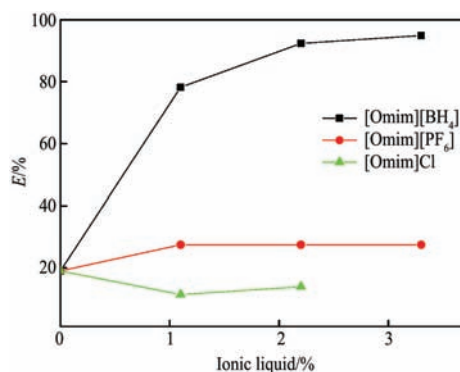
In situ XRD patterns of CeO₂ in air/Ar atmosphere

中国稀土学报, 2020, 38(4): 483-489

稀土化学与湿法冶金

490 [Omim][BF₄] 基离子液体微乳液萃取金属镧离子的研究

姜 鹏, 李 勇*, 何金桂

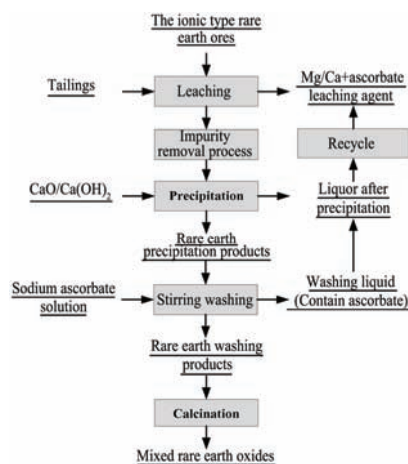


Effect of type and concentration of ionic liquid on extraction of La³⁺

中国稀土学报, 2020, 38(4): 490-496

497 抗坏血酸钠搅洗降低混合稀土氧化物中 SO₄²⁻含量的研究

贺 强, 赖安邦, 邱 江, 王瑞祥, 肖燕飞*

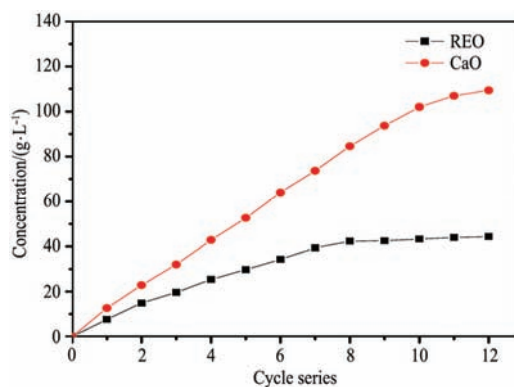


Schematic diagram of magnesium salt compound leaching–calcium oxide precipitation–sodium ascorbate stirring washing green circulation process for ionic type rare earth ores

中国稀土学报, 2020, 38(4): 497-506

507 混合型稀土精矿循环化选工艺研究

王 哲, 崔建国*, 侯睿恩, 乔 军, 高 婷, 田 皓

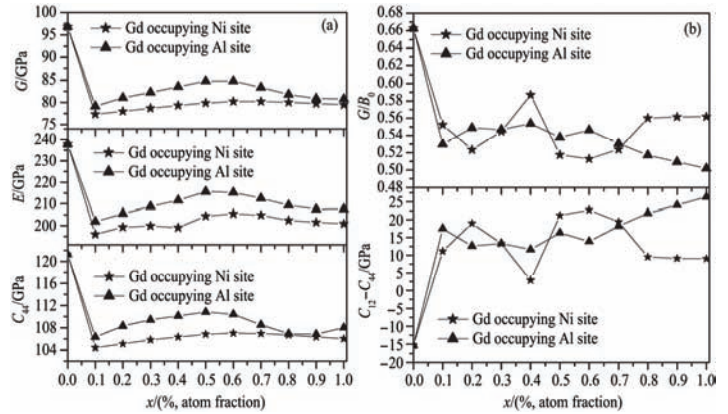


6 mol·L⁻¹ HCl concentration of various elements with different cyclic series

中国稀土学报, 2020, 38(4): 507-513

514 钕对 B₂ 型 NiAl 力学性质合金化效应的第一性原理计算

陈律*, 李敏, 刘逸众



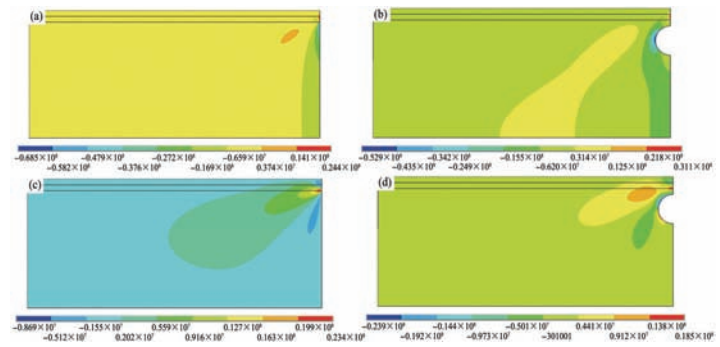
Cauchy pressure ($C_{12}-C_{44}$), elastic constant C_{44} of $B_2-(Ni_{1-x}Gd_x)Al$ and $B_2-Ni(Gd_xAl_{1-x})$ single crystals with Ni vacancy defect and Young modulus E , shear modulus G and ratio G/B_0 of corresponding polycrystals as a function of gadolinium alloying concentration x

中国稀土学报, 2020, 38(4): 514-520

稀土应用

521 应力释放槽对等离子喷涂 Mo/8YSZ 热障涂层残余应力的影响规律研究

张啸寒, 庞铭*, 江国业

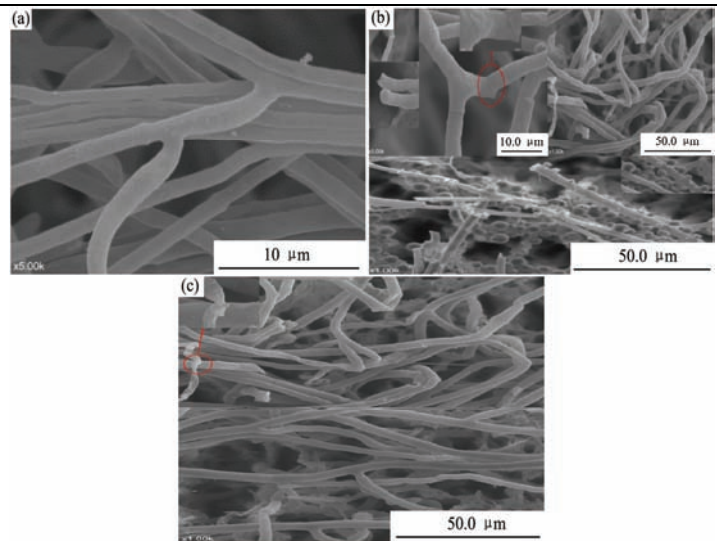


Comparison of residual stress of spraying components with or without stress release groove (unit: Pa)
(a) Axial residual stress of spraying components with stress release groove; (b) Axial residual stress of spraying components without stress release groove; (c) Shear residual stress of spraying components with stress release groove; (d) Shear residual stress of spraying components without stress release groove

中国稀土学报, 2020, 38(4): 521-531

532 稀土螯合物抑制土传病原菌的效果及其形态毒理机制

王晨霞, 李艳, 常瑞雪, 陈清, 胡林, 崔建宇*, 慕康国*



Effect of different concentrations of RI and shenqinmycin on Mycelia morphology of *Pythium sp.*

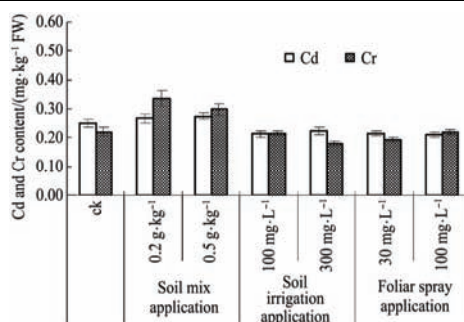
中国稀土学报, 2020, 38(4): 532-538

(a) Control group; (b) Treatment of RI; (c) Treatment of shenqinmycin

539 镉不同施用方式对吸收差异型小白菜镉、铬吸收及生物量的影响

任艳军, 马建军*, 任学军, 杜彬, 马为民

中国稀土学报, 2020, 38(4): 539-549

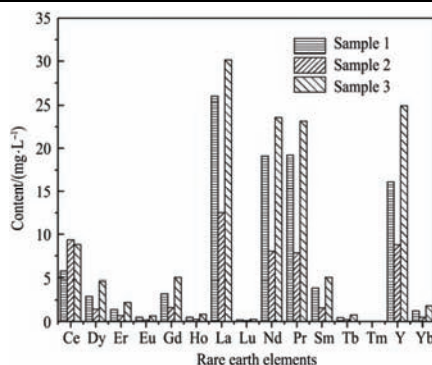


Effects of La different application methods on Cd and Cr content, leaf of low absorption cumulation Chinese cabbage

550 离子型稀土矿废水检测与分析

詹鸿峰, 王华生*, 潘禹, 孙缓缓, 刘祖文

中国稀土学报, 2020, 38(4): 550-556



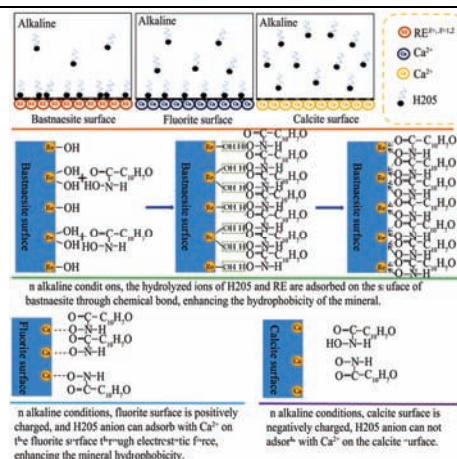
Contents of rare earth elements in wastewater

稀土地矿

557 H2O5 对氟碳铈矿和含钙脉石的浮选机制研究

曹轩, 林一明, 王维清*, 邹志威, 陈正义

中国稀土学报, 2020, 38(4): 557-563

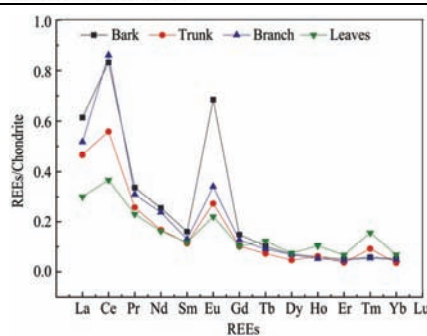


Interaction model of H2O5 adsorbing on bastnaesite and calcareous gangues

564 南方离子型稀土矿区马尾松稀土元素的分布与富集

张巧玲, 陈志强*, 陈志彪, 冯柳俊

中国稀土学报, 2020, 38(4): 564-572

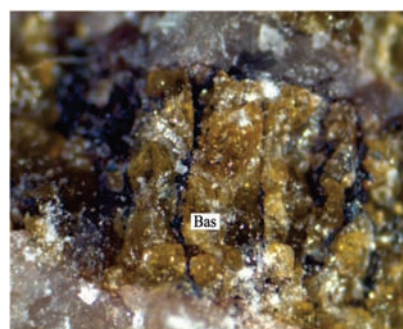


Distribution patterns of rare earth elements in upper parts of *Pinus massoniana*

573 豫西太平镇稀土矿床稀土元素赋存状态研究

陈化凯*, 张盼盼, 李靖辉, 温国栋, 范光

中国稀土学报, 2020, 38(4): 573-582



Stereoscopic microphotograph of bastnaesite-(Ce)